

曲げとねじりを受けるRC桁のひびわれと変形特性

北大工学部 正員 藤田嘉夫
 " " ○佐伯 昇
 " " 高田宣之
 " " 奈良久

1. まえがき

鉄筋コンクリート多主桁橋に偏心荷重が載荷して、主桁にねじり荷重が作用すると、桁自体にねじりによるせん断応力が生じ、桁の耐力に影響を及ぼす。さらに曲げおよびねじり荷重によるひびわれが主桁の曲げ剛性およびねじり剛性の低下を起し、これが床版による荷重分担性状を変化させて、床版たわみの増加および変形特性に大きな影響を与えるものと考えられる。本研究では曲げ荷重を主体に設計された構造物について、ねじり荷重が作用した場合のひびわれおよび変形挙動を明らかにしようとしたもので次のような実験および解析を行った。オノに曲げとねじりを受ける桁のひびわれ発生性状について、実験によりひびわれ発生荷重を求め、主応力を数値計算してひびわれ発生条件について検討した。又このひびわれ発生荷重に対するねじりモーメント、主鉄筋比、スターラップ量の影響について調べた。オノに最大ひびわれ幅が $\frac{1}{100}$ および $\frac{1}{200}$ になる場合のねじりモーメント、スターラップ量の影響の度合およびこれらのひびわれによる曲げ剛性およびねじり剛性の低下率を明らかにした。さらにこれらのひびわれ状態でのねじり剛性低下の算定式を検討した。今回はこれらT桁および矩形桁の曲げねじり実験によるひびわれと変形についてまとめたものである。

2. 実験供試体および実験方法

実験桁は図-1に示すようにT形および矩形断面でスパン3mの鉄筋コンクリート桁である。主鉄筋は $\phi 16$ および $\phi 19$ (SD35)の2種類、スターラップは $\phi 10$ (SD35)を用い、そのピッチ $t_s = 7\text{cm}, 10, 15, 20\text{cm}$ の4種類である。曲げ載荷方法は2点載荷(タイプI)、およびせん断スパンの短かい1点載荷(タイプII)を用いた。又ねじり荷重は桁端部で2台のオイルジャッキで偶力を発生させて、桁全体に一定ねじりモーメントを作用させた。Zone A(C)は曲げモーメント(M)、曲げせん断力(S)、ねじりモーメント(T)が作用し、Zone BではMとT、Zone Dでは大きな曲げせん断力とM、Tが作用している。実験桁の材料はすべて同じで、セメントは普通ポルトランドセメント、砂は錦岡海岸砂で比重2.78、単位容積重量 1700kg/m^3 、吸水量 10.2% 、石粉利は静内川砂利で比重2.78単位容積重量 1747kg/m^3 、吸水量 10.6% のものを用いた。配合は水セメント比0.43、砂と砂利の比は1.23である。桁は実験日まで 20°C の水槽で養生し、ほど10日前後の材令で実験を行った。テストピースは圧縮強度(C)、ヤング率(E)およびボアン比(V)の測定のために3本、割裂引張強度用に3~5本作製した。これらの試験の諸数値は表-1に示した。ひびみの測定は桁の中央点において主鉄筋のひずみ、スパンの $\frac{1}{4}$ 、 $\frac{1}{2}$ 、 $\frac{3}{4}$ 点のウェップ中央でスターラップのひずみ、および $\frac{1}{2}$ 点でコンクリー

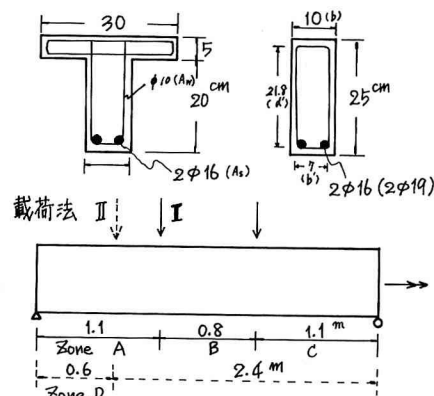


図-1

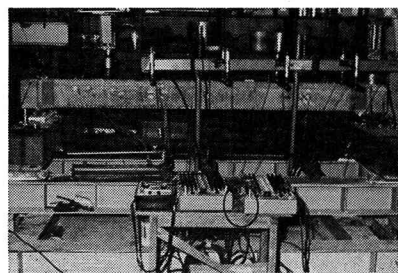


写真1 測定状況

ト床版の表面ひずみを取、T_c。ひびわれ測定は荷側面の主鉄筋の位置に、スパン中央から対称に4cm間隔に35点(140cm)のコンタクトゲージを貼って行った。軸のたわみおよびねじり角は変位変換器によつて測定した。測定状況を写真-1に示す。載荷はねじり荷重を一定($T/T_B = 0.25 \sim 0.7$)にして、曲げ荷重を段階ごとに増加し、各段階でコンタクトゲージ、主鉄筋ひずみ、スタートアップひずみ、変形を測定した。

3. 実験結果および考察

3.1 曲げねじり荷重下のひびわれ性状

曲げねじり荷重下の主鉄筋位置でのコンクリートの伸びをコンタクトゲージで測定し、伸びの値が10μ以上になるとひびわれが光学的(20倍測微鏡)に確認されるのでこの時点をひびわれ発生とする。その時の曲げモーメントをM_{cr}、ねじりモーメントをT_{cr}とすると断面下面の中央の点のコンクリートの主応力は

$$\sigma_{cr} = \frac{M_{cr}}{ZI} y \pm \sqrt{\left(\frac{M_{cr}}{ZI} y\right)^2 + \left(\frac{\theta_{cr}}{I}\right)^2} \quad (1)$$

で求められる。yは断面下面の幅であり、Iは断面によって決まる定数でほぼ1/10に近似できる。図-2にひびわれ発生時の最大の主応力を示す。主引張応力は20~50kg/cm²に分布し、割裂引張強度にほぼ対応している。又T_{cr}と矩形断面での差異はあまり認められなかった。図-3にT/T_B(T_Bはねじり荷重のみ)による破壊ねじりモーメントと σ_{cr} (σ_{cr} は割裂引張強度)との関係を示したもので、T/T_Bが0.25~0.80変化するに σ_{cr} は0.6~1.6に変化し、 $\sigma_{cr}/\sigma_t = 1$ を中心にして分布して、ひびわれ発生荷重はほぼ σ_t によって決まることがわかった。又T_{cr}が大きくなるにつれて、 σ_{cr} が大きくなる傾向を示した。ねじり荷重の時のひびわれ発生は破壊ねじりモーメントの50~80%で発生し、急激な変形剛性の低下が見られた。図-4は主鉄筋比A_s/bdによるひびわれ発生荷重の性状でT_{cr}の主鉄筋比は0.60%で σ_{cr} は0.6~1.0にバラツクが、1.0を中心に分布している。矩形断面に比べてバラツキが大きかった。矩形断面の主鉄筋比は83%の場合、 σ_{cr} は1.0附近に分布

し、0.65~1.4の範囲にある。主鉄筋比2.57%の場合、 σ_{cr} は1.0より大きくなる傾向を示しているが、全体から見て主鉄筋比によるひびわれ発生荷重の影響はあまりない傾向を示した。スタートアップの影響を見るために次式を用

表-1 実験析論元

実験番号	M _{cr} kg/cm ²	T _{cr} kg/cm ²	E _c kg/cm ²	S _{cr} kg/cm ²	G _{cr} kg/cm ²	E _c kg/cm ²	G _c kg/cm ²
T-0-1	9.135	0.270	362	31.0 ^a	3670	319	135
	2	0	0.184	444	35.7 ^a	3510	132
	3	2.819	0.442	399	33.0 ^a	3480	144
	4	2.819	0.156	473	37.0 ^a	3660	144
T-1-1	3.087	0.265	424	34.4 ^a	3950	308	128
	2	0	0.124	433	34.3 ^a	3460	133
	3	2.956	0.442	373	31.1 ^a	3550	135
	4	3.025	0.156	410	33.6 ^a	3560	137
R-0-1	2.810	0.215	385	32.2 ^a	3730	327	140
	2	0	0.177	402	36.3	340	144
	3	2.181	0.324	378	32.6	3470	139
	4	2.723	0.162	377	35.6	3430	164
R-1-1	3.052	0.156	343	30.0	3924	280	119
	2	2.684	0.156	332	28.4	3716	278
	3	2.654	0.260	432	34.9	3785	273
	4	0	0.314	409	33.6	3785	121
R-2-0	2.819	0.156	376	33.5	3804	283	123
	2	3.011	0.260	380	28.9	4139	308
	3	2.613	0.260	369	30.4	3808	327
	4	0	0.338	345	30.3	3741	302
R-10-18	2.928	0.156	444	31.4	—	304	131
	2S	2.792	0.260	349	30.6	3683	317
	3S	2.592	0.260	368	31.4	3683	300
	4	0	0.377	345	32.7	3765	315
R-15-18	2.880	0.156	368	30.6	3938	278	118
	2S	2.712	0.260	350	33.3	3598	353
	3S	2.784	0.260	359	31.2	3747	303
	4	0	0.320	355	32.1	3883	299
R-20-18	2.760	0.156	403	33.9	3633	332	138
	2S	2.664	0.260	361	32.5	3625	303
	3S	4.272	0.260	355	32.1	3883	130

△推定値

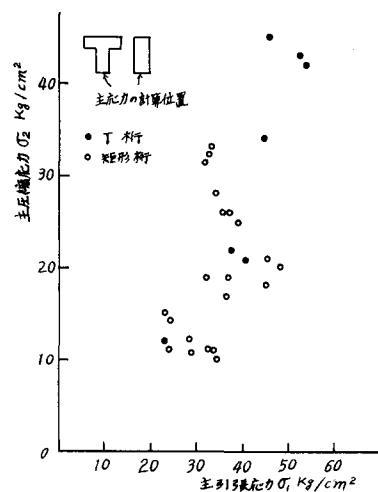


図-2 曲げねじり荷重下のひびわれ発生主応力

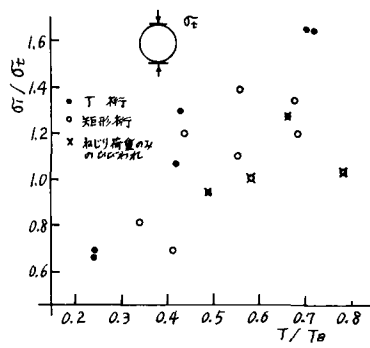


図-3 ねじり荷重の影響によるひびわれ発生

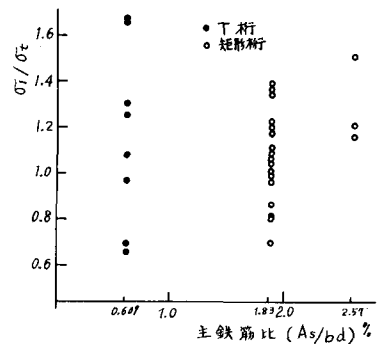


図-4 主鉄筋比によるひびわれ発生

いた。

$$P_w = \frac{2(b'+d')Aw}{s} \quad (2)$$

その結果を図-5に示す。矩形断面の $P_w = 2.3 \sim 6.4 \text{ cm}^2$ の範囲で $\%/\%$ の影響は認められず、又T形断面についても $P_w = 7.9 \sim 11.2$ で、ひびわれ発生に対して影響はほとんどないことがわかった。図-6はひびわれ発生曲げモーメント M_{ct} と破壊曲げモーメントとの比 M_{ct}/M_B についてねじり荷重の影響を調べたもので、矩形断面で T/T_B が $0.3 \sim 0.7$ に増加すると M_{ct}/M_B は $0.07 \sim 0.03$ に低下する傾向を示し、載荷方法による影響はあまり認められなかつた。又T断面では M_{ct}/M_B の T/T_B による低下の傾向がみられなかつた。図-7は M_B^T に対する M_{ct1} (最大ひびわれ幅が 0.2%) に対する時の曲げモーメント) の比 M_{ct1}/M_B^T についてねじり荷重比 T/T_B の影響を検討したもので、 T/T_B が $0.25 \sim 0.75$ に増加するに M_{ct1}/M_B^T は $0.5 \sim 0.3$ に低下し、ねじり荷重によつて M_{ct1} の状態により早くなることを示してゐた。この傾向はT形断面、矩形断面およびZ字形B,Dについても同じような性状を示した。図-8は M_{ct2}/M_B (M_{ct2} は最大ひびわれ幅が 0.2%) に対する時の曲げモーメント) について図-7と同様に T/T_B の影響を調べたもので、矩形断面では $T/T_B = 0.3 \sim 0.7$ に増加すると M_{ct2}/M_B は $0.85 \sim 0.55$ に低下し、T形断面では M_{ct2}/M_B は $0.5 \sim 0.8$ で T/T_B に対して大きな変化はみられなかつた。図-9は M_{ct2}/M_B^T のストラップ量の影響を検討したもので、 P_w が 2.3 から 4.5 に増加するに M_{ct2}/M_B^T は 0.6 から 0.8 に増加するが P_w が 4.5 以上の増加に対しては M_{ct2}/M_B^T の増加は認められず、 M_{ct2}/M_B^T は $0.75 \sim 0.8$ のままで一定値を示した。又同様に M_{ct1}/M_B^T の値の P_w の影響を調べると P_w が $2.3 \sim 11.2$ に変化しても、 $M_{ct1}/M_B^T = 0.3 \sim 0.5$ の範囲に分布し、 P_w の影響はあまり認められなかつた。すなはち M_{ct2} 前後からストラップの作用が顕著になることがわかつた。

3. 2 ひびわれと変形剛性性状

図-10、11に示すように変形剛性は荷重の増大とともに低下する。

・破壊近くの曲げ剛性

初期の荷重段階のそれに比して約 $1/2$ になる。しかしながらひびわれ状態でも破壊直前まで急激な剛性低下はない。起らぬいで、若荷重段階で既に剛性低下してしまは定常状態になつていた。ねじり剛性も同じように段々に低下

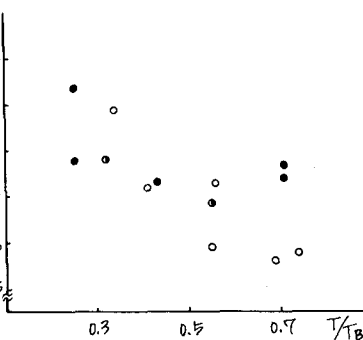


図-8 ねじり荷重の影響による M_{ct2}/M_B

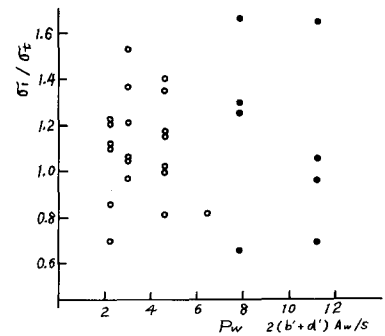


図-5 ストラップの影響によるひびわれ発生

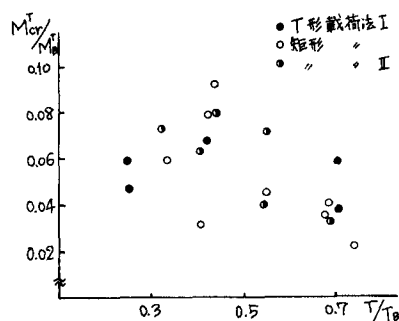


図-6 ねじり荷重の影響による M_{ct1}/M_B^T

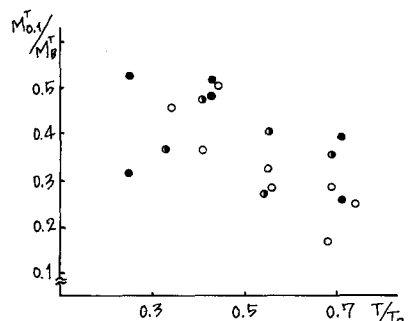


図-7 ねじり荷重の影響による M_{ct2}/M_B^T

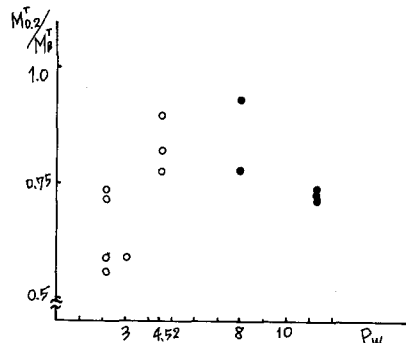


図-9 ストラップの影響による M_{ct2}/M_B^T

レ、破壊近傍ではほぼ定常状態になっていた。また曲げゾーンはせん断ゾーンに比較してねじり剛性の低下は大きいが、破壊近くでは大差がなくなる傾向を示した。ねじり荷重のみによるねじり剛性低下はひびわれが発生する $T_{cr}/T_B = 0.6$ 前後から急激に低下し初期の剛性に比べて1/10程度になった。変形剛性の低下率を弾性体とくの剛性($E_{\text{弾性}} \text{および} G_{\text{弾性}}$)との比で表わし、 M_{cr}^T 、 $M_{a,1}^T$ 、 $M_{a,2}^T$ の状態と比較してみると図-12、13のようになる。 Δ 形桁の曲げ剛性低下率は $M_{a,1}^T$ で0.55、 $M_{a,2}^T$ で0.5となりT桁では $M_{a,1}^T$ で0.3で、 Δ 形桁より低下率が大きい傾向を示した。ねじり剛性はT桁、 Δ 形桁とも $M_{a,1}^T$ で0.5、 $M_{a,2}^T$ で0.3程度の低下率を示した。 $M_{a,1}^T$ 、 $M_{a,2}^T$ の状態のねじり剛性的算定式とくに次式を用いた。

$$I_{ti} = I_{tc} + I_{ts} = \frac{1}{3} r x^3 b + 3 \frac{E_s}{G_c} \cdot \frac{b^2 d'}{3} A W \quad \dots \dots \dots (3)$$

ここで I_{tc} は曲げの State II の状態のコンクリート圧縮部のねじり剛度で、Saint-Venant 理論より求められる。 I_{ts} はスチーラップによるねじり剛度で Cowan が諸算したものを応用したものである。図-14に示すようにねじり剛性の算定式 (GTc) はいま M_{cr}^T ~ M_{cr}^A の状態に対することと表示している。

4. 結論

- 1、曲げねじり荷重下のひびわれ発生荷重はコンクリートの引張強度に支配され、主鉄筋、スターラップの影響は認められなかつた。

2、 M_{b1}/M_B 、 M_{b2}^T/M_B^T は T/T_B の影響を受け、 T/T_B が大きくなるに従つて低下する傾向を示した。又 M_{b2}^T/M_B^T はスターラップの影響を受けることがわかつた。

3、曲げ剛性、ねじり剛性はひびわれによつて低下し、 M_{b2} の状態の剛性よりひびわれ前に比べて曲げ剛性で 0.5、ねじり剛性で 0.3 程度に低下することが認められた。又 GI_L の算定式における $M_{b1}^T \sim M_{b2}^T$ に対することがわかつた。

5. あとがき

本実験を行うに当たり
御助力して戴いた中津
川氏および林君、井田
君、元木君に厚く感謝
の意を表します。

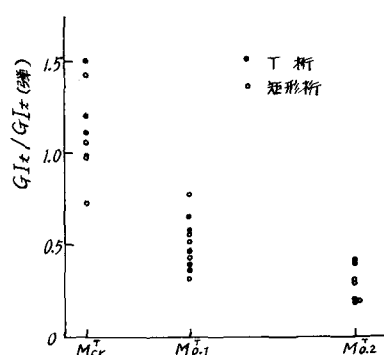


図-13 ひびわれによるねじり剛性低下性状

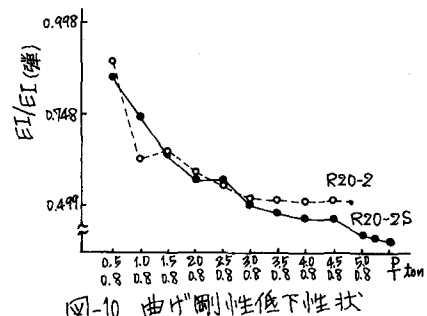


図-10 曲げ剛性低下性状

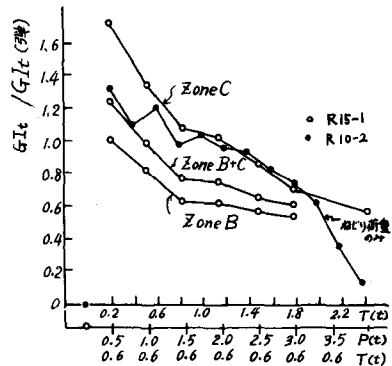


図-11 むじり剛性低下性状

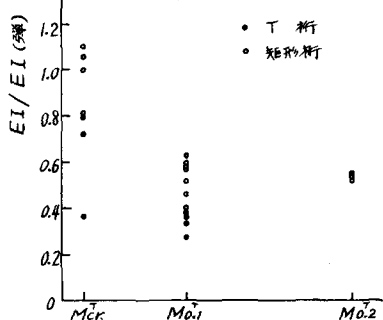


図-12 ひびわれによる曲げ剛性低下性状

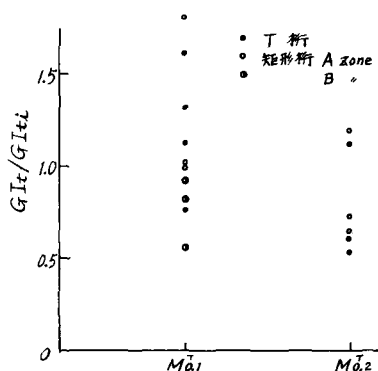


図-14 ひびわれ発生後のねじり剛性